

# Дифракционный механизм зеркального отражения света от фотонных кристаллов

© А.Н. Поддубный

Физико-технический институт им. А.Ф. Иоффе Российской академии наук,  
194021 Санкт-Петербург, Россия

E-mail: poddubny@coherent.ioffe.ru

(Поступила в Редакцию 17 мая 2006 г.)

Теоретически исследуются спектры зеркального отражения и дифракции света, а также экситон-поляритонная зонная структура резонансного двумерного фотонного кристалла, образованного полупроводниковыми цилиндрами, помещенными в диэлектрическую матрицу. Показано, что зеркальное отражение света от фотонного кристалла может значительно возрасти за счет дифракции в фотонном кристалле и отражения от его внутренней границы с вакуумом.

Работа поддержана Министерством науки и образования РФ, РФФИ (грант № 05-02-16372) и Фондом некоммерческих программ „Династия“–МЦФФМ.

PACS: 71.35.-y, 71.36.+c, 42.70.Qs

## 1. Введение

Фотонные кристаллы, т.е. структуры в которых диэлектрическая проницаемость периодически изменяется в пространстве с периодом, допускающим брэгговскую дифракцию света, были выделены в отдельный класс материалов в работах [1,2] и активно изучаются в настоящее время. Простейшей реализацией фотонного кристалла является периодическая структура, состоящая из двух материалов  $A$  и  $B$  с различными диэлектрическими проницаемостями  $\epsilon_A$  и  $\epsilon_B$ . Особый интерес представляют резонансные фотонные кристаллы, в которых диэлектрическая проницаемость одного из композиционных материалов зависит от частоты и имеет полюс на некоторой резонансной частоте.

В зависимости от числа направлений, в которых периодична диэлектрическая проницаемость, выделяют одномерные, двумерные и трехмерные фотонные кристаллы. В работе [3] исследовались зонная структура и оптические спектры резонансного двумерного фотонного кристалла с учетом частотной зависимости диэлектрической проницаемости в рамках локальной материальной связи  $\mathbf{D} = \epsilon_A(\omega)\mathbf{E}$  между электрической индукцией и электрическим полем. В работе [4] изучены спектры отражения от одномерной решетки прямоугольных параллелепипедов с учетом экситонного резонанса. Спектры оптического отражения от резонансного трехмерного фотонного кристалла с учетом только одного уровня размерного квантования механического экситона в шарике  $A$  в пренебрежении диэлектрическим контрастом анализировались в работе [5].

Целью настоящей работы является исследование зеркального отражения и дифракции света для двумерного фотонного кристалла. Расчет производится с учетом пространственной дисперсии диэлектрической проницаемости материала  $A$  и диэлектрического контраста, определяемого различием между  $\epsilon_B$  и фоновой диэлек-

трической проницаемостью материала цилиндров. Также рассчитывается дисперсия экситонных поляритонов и результаты работы [6] обобщаются на случай двумерных фотонных кристаллов. В разделе 3 исследуются спектры оптического отражения в случае малых дифракционных эффектов. В разделе 4 рассматривается дифракция света на фотонном кристалле. Показано, что дифракционные эффекты могут приводить к значительному увеличению зеркального отражения света.

## 2. Постановка задачи и метод расчета

В данной работе рассчитываются оптические спектры для двумерного фотонного кристалла, схематически показанного на рис. 1,  $a$ . Фотонный кристалл образован цилиндрами радиуса  $R$ , параллельными оси  $z$  и расположенными в узлах двумерной квадратной решетки с постоянной решетки  $a$ . Цилиндры помещены в диэлектрическую матрицу из материала  $B$ . Так же как и в работе [6], в диэлектрической проницаемости материала цилиндров  $\epsilon_A$  учитывается как временная, так и пространственная дисперсия; материал  $A$  характеризуется фоновой диэлектрической проницаемостью  $\epsilon_a$ , резонансной частотой  $\omega_0$  и продольно-поперечным расщеплением  $\omega_{LT}$  триплетного  $1s$ -экситона. Для простоты рассматривается геометрия распространения экситонных поляритонов в плоскости  $xy$ , перпендикулярно осям цилиндров. Введем энергию возбуждения экситона на нижний уровень размерного квантования в цилиндрах  $A$

$$\hbar\omega_{1,0} = \hbar\omega_0 + \frac{\hbar^2}{2MR^2} \varphi_{1,0}^2, \quad (1)$$

где  $\varphi_{1,0} \approx 2.4$  — первый нуль функции Бесселя  $J_0(\varphi)$ .

Спектры оптического отражения и дифракция света рассчитываются для структуры, состоящей из  $N$  слоев цилиндров, лежащих в плоскости уз. Слои считаются

бесконечными в направлении  $y$ . Слева структура ограничена материалом с диэлектрической проницаемостью  $\varepsilon_L$ , справа — полубесконечной средой из материала  $B$ . Левая граница фотонного кристалла расположена в плоскости  $x = 0$ , а центры цилиндров крайнего левого слоя — в плоскости  $x = a/2$ .

В рассматриваемой геометрии выделяются две независимые поляризации электромагнитной волны:  $TE$  и  $TM$ , при которых вдоль оси  $z$  направлены соответственно электрическое поле  $\mathbf{E}$  и магнитное поле  $\mathbf{H}$ . В дальнейшем рассматривается только  $TE$ -поляризация. Для указания компонент векторов  $\mathbf{v}$ , лежащих в плоскости  $x, y$ , будем использовать двухкомпонентное обозначение  $(v_x, v_y)$ . В частности, волновой вектор  $\mathbf{q}$  первичной волны, распространяющейся в среде  $L$ , обозначается  $(q_x, q_y)$ . Далее рассматривается случай нормального падения, т.е.  $q_y = 0$ . Электрическое поле в области  $x < 0$  может быть разложено в ряд по плоским волнам

$$E_z(\boldsymbol{\rho}) \propto e^{iq_x x} + \sum_{h=-\infty}^{\infty} r_h e^{-i\gamma_h x + ib_h y}, \quad (2)$$

где  $\boldsymbol{\rho} = (x, y)$ ,  $b_h = gh$ ,  $g = 2\pi/a$  и  $\gamma_h = \sqrt{(\omega/c)^2 \varepsilon_L - b_h^2}$ ,  $\gamma_0 \equiv q_x$ , причем  $\text{Re } \gamma_h \geq 0$ . Величина  $R_0 = |r_0|^2$  определяет интенсивность зеркально отраженного света, величины  $R_h = |r_h|^2$  с  $h \neq 0$  определяют интенсивность света, дифрагированного в направлении вектора  $(-\gamma_h, b_h)$ . Распространяющимся в области  $x < 0$  волнам отвечают значения  $h$ , при которых  $\text{Im } \gamma_h = 0$ . В настоящей работе рассматривались случаи, когда среда  $L$  — вакуум ( $\varepsilon_L = 1$ ) или продолжение материала  $B$  ( $\varepsilon_L = \varepsilon_B$ ). Величины  $R_h$  и  $\gamma_h$  при этих значениях  $\varepsilon_L$  будем помечать дополнительными индексами  $V$  и  $B$  соответственно.

Для расчета зависимостей  $R_h(\omega)$  использовался двумерный послойный метод Корринги–Кона–Ростокера (KKP, layer KKR method) [7]. Особенностью этого метода является то, что взаимодействие света с каждым слоем цилиндров описывается в базисе цилиндрических волн, а для описания распространения электромагнитного поля между соседними слоями цилиндров используется базис плоских волн. Для нахождения дисперсии экситонных поляритонов  $\omega(\mathbf{k})$  использовался двумерный объемный метод ККР (bulk KKR method) [8].

Волновое уравнение для электрического поля в области  $0 < x < Nd$  может быть записано в виде

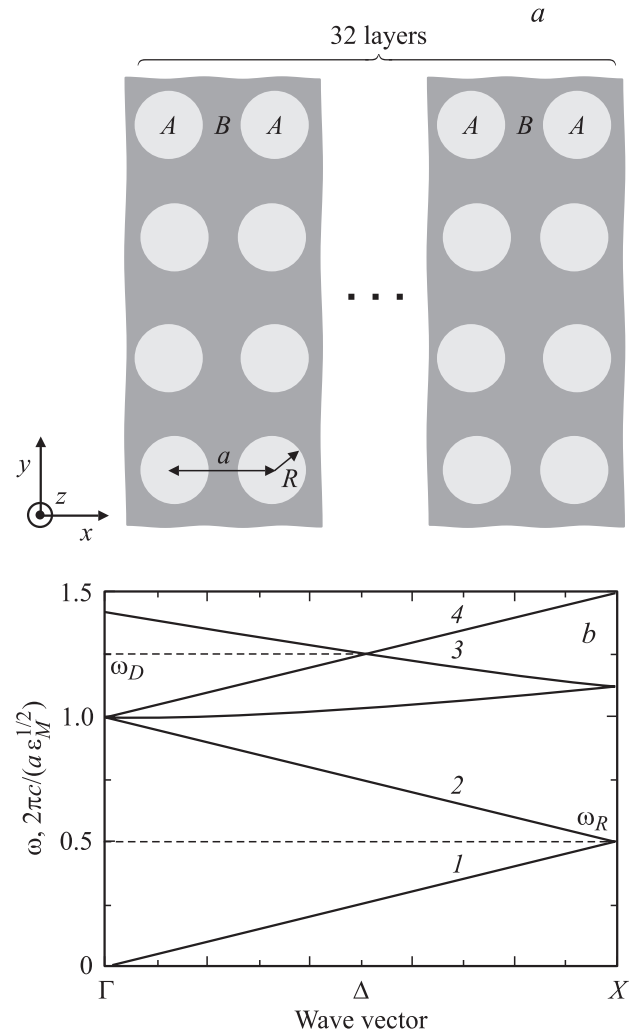
$$\left[ \Delta + \left( \frac{\omega}{c} \right)^2 \varepsilon_M \right] E_z(\boldsymbol{\rho}) = \left( \frac{\omega}{c} \right)^2 [\varepsilon_M - \varepsilon(\boldsymbol{\rho})] E_z(\boldsymbol{\rho}) - 4\pi \left( \frac{\omega}{c} \right)^2 P_{\text{exc}}(\boldsymbol{\rho}), \quad (3)$$

где введена средняя фоновая диэлектрическая проницаемость

$$\varepsilon_M = \varepsilon_B(1 - f) + \varepsilon_a f, \quad f = \pi R^2/a^2.$$

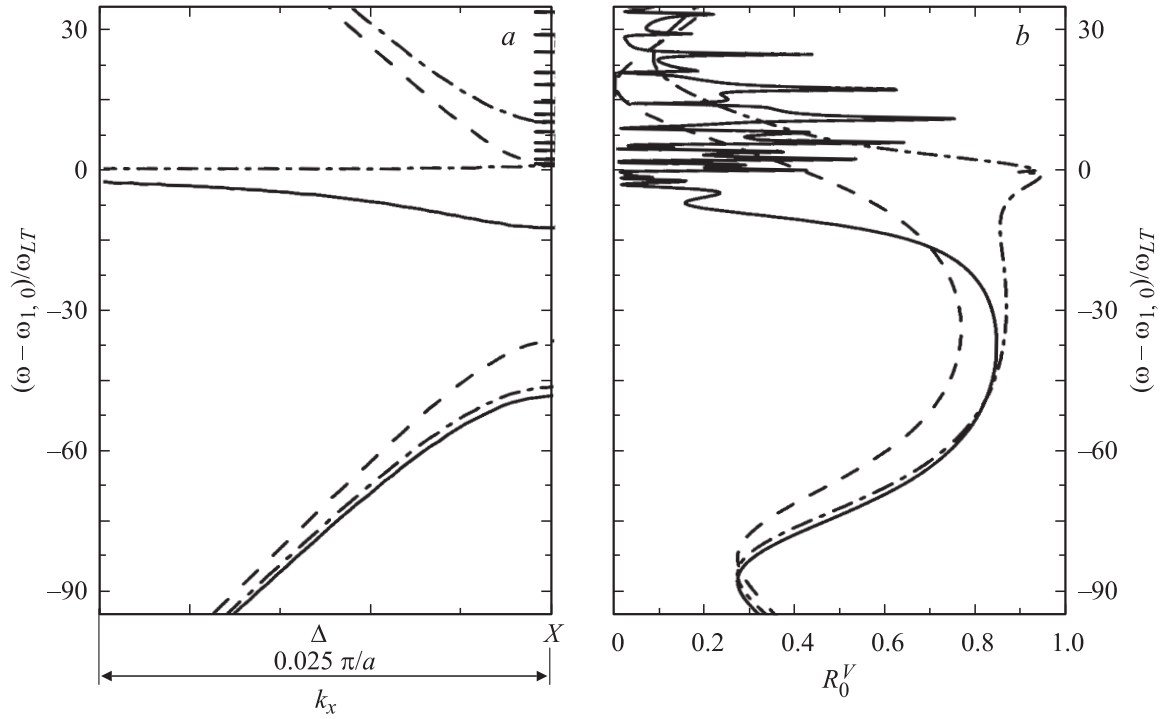
Для экситонной поляризации использовалось материальное уравнение в виде

$$[-\hbar/(2M)\Delta + \omega_0 - \omega] P_{\text{exc}}(\boldsymbol{\rho}) = \varepsilon_a \omega_{LT} E_z(\boldsymbol{\rho}) / (4\pi). \quad (4)$$



**Рис. 1.** а) Схематическое изображение рассматриваемой структуры, указаны постоянная квадратной решетки  $a$  и радиус цилиндров  $R$ . б) Дисперсия света в однородной среде в схеме приведенных зон двумерной квадратной решетки. Зонная структура показана в направлении  $\Gamma$ – $X$  зоны Бриллюэна.

Решениями уравнения (3) при нулевой правой части являются плоские волны, распространяющиеся в однородной среде с диэлектрической проницаемостью  $\varepsilon_M$ , а слагаемые в правой части приводят к дифракции этих волн. При нормальном падении света  $k_y = k_z = 0$ , и внутри структуры возбуждаются блоховские волны с волновым вектором  $\mathbf{k}$  в направлении  $\Gamma$ – $X$  двумерной зоны Бриллюэна. На рис. 1, б представлена фотонная зонная структура в направлении  $\Gamma$ – $X$  в однородной среде с диэлектрической проницаемостью  $\varepsilon_M$ , т.е. при  $\varepsilon_A = \varepsilon_B = \varepsilon_M$ . Учет диэлектрического контраста  $\varepsilon_a \neq \varepsilon_B$ , а также экситонного вклада в диэлектрическую проницаемость приводит к образованию запрещенных зон (или стоп-зон). Резонансные свойства фотонного кристалла проявляются в том случае, если частота  $\omega_{1,0}$  лежит вблизи частоты, при которой происходит пересечение ветвей дисперсионной кривой фотонов в однородной



**Рис. 2.** Экситон-поляритонная зонная структура (а) и спектры оптического отражения света (b). Штриховые кривые соответствуют нерезонансному фотонному кристаллу с  $\omega_{LT} = 0$ , штрихпунктирные — расчет в пределе  $M \rightarrow 0$ , сплошные кривые и горизонтальные штрихи на части а — расчет при конечной массе экситона  $M = 0.5m_0$ , где  $m_0$  — масса электрона в вакууме. Значения остальных параметров указаны в тексте.

среде. В разделе 3 рассмотрен случай, когда  $\omega_{1,0}$  равняется частоте  $\omega_R = \pi c / (a\sqrt{\epsilon_M})$ , а в разделе 4 — случай, когда  $\omega_{1,0}$  равняется  $\omega_D = 5\pi c / (2a\sqrt{\epsilon_M})$  (положения частот  $\omega_R$  и  $\omega_D$  указаны на рис. 1, b).

### 3. Оптическое отражение от фотонного кристалла

На рис. 2 представлена зонная структура фотонного кристалла вблизи точки X и спектры оптического отражения  $R_0^V(\omega)$ . Для случая конечной эффективной массы экситона на рис. 2, а показаны две нижние ветви дисперсионной кривой и горизонтальными штрихами отмечены значения частот, при которых вышележащие ветви пересекают ось X. Расчет проводился при следующих параметрах:  $\hbar\omega_{1,0} = 2\text{eV}$ ,  $\hbar\omega_{LT} = 1\mu\text{eV}$ ,  $R = 0.35a$ ,  $\omega_R = \omega_{1,0}$ ,  $\epsilon_a = 11$ ,  $\epsilon_B = 10$ ,  $N = 32$ . В спектрах отражения учитывалось нерезонансное затухание экситона  $\hbar\Gamma = 100\mu\text{eV}$ , для чего достаточно заменить в уравнении (4)  $\omega_0$  на  $\omega_0 - i\Gamma$ . При изменении эффективной массы  $M$  менялась и резонансная частота  $\omega_0$  так, чтобы значение  $\omega_{1,0}$  в (1) оставалось постоянным. Полученные дисперсионные кривые для экситонных поляритонов в двумерной квадратной решетке аналогичны рассчитанным для ГЦК-решетки [6]. Расчет показывает, что спектральное положение нижних ветвей поляритонной дисперсии монотонно зависит от эффективной массы и

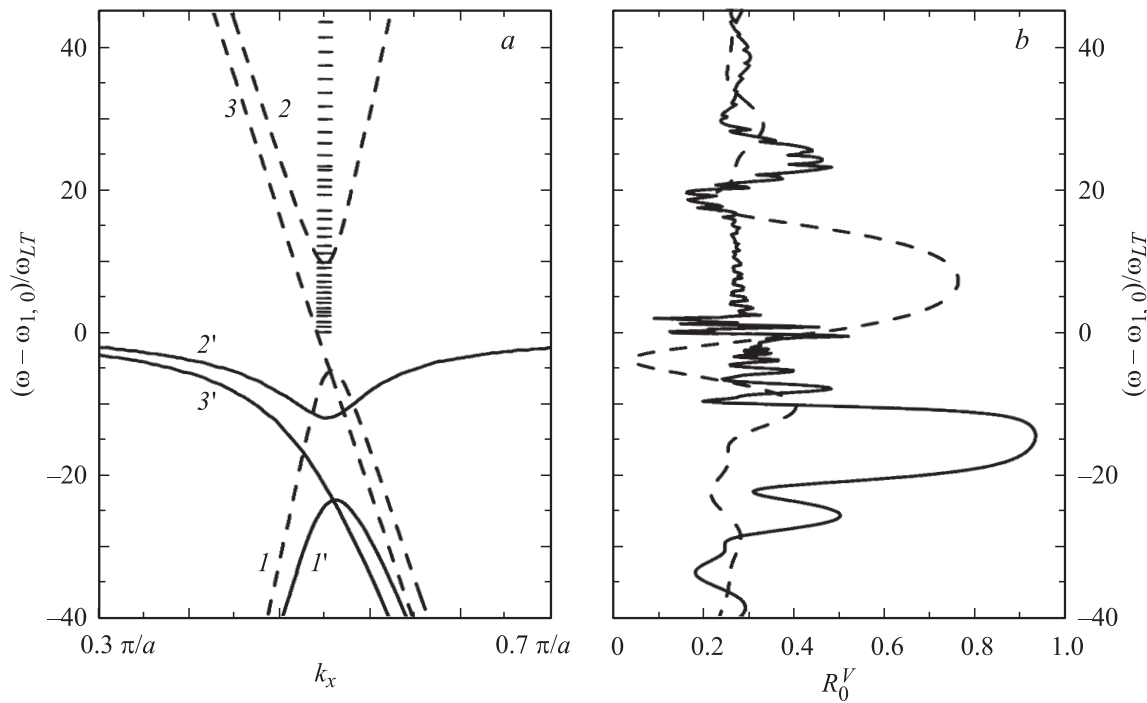
определяется взаимодействием света с несколькими первыми уровнями размерного квантования механического экситона.

Интерференция световых волн, отраженных от внешней границы вакуум–фотонный кристалл, и волн, отраженных от цилиндров, приводит к тому, что спектральное положение максимума в спектрах  $R_0(\omega)$  смещается от середины стоп-зоны к ее нижнему краю. Вдали от области экситонного резонанса  $R_0(\omega)$  близок к коэффициенту отражения от полубесконечного материала B

$$R_{vb} = \left( \frac{\gamma_0^V - \gamma_0^B}{\gamma_0^V + \gamma_0^B} \right)^2 \approx 0.27.$$

В области  $\omega > \omega_{1,0}$  в спектре, рассчитанном при  $M = 0.5m_0$ , присутствуют резкие максимумы на частотах, близких к собственным частотам экситонных поляритонов  $\omega$  при  $k_x = \pi/a$  (указаны штрихами на рис. 2, а).

Внутри фотонного кристалла, но вне цилиндров электромагнитное поле может быть разложено в ряд по плоским волнам  $\propto e^{\pm i\gamma_h^B x + i b n y}$ . При использованных параметрах все величины  $\gamma_h^V$  и  $\gamma_h^B$  с  $h \neq 0$  являются чисто мнимыми. Это означает, что влияние дифракционных эффектов мало, поскольку волны с  $h \neq 0$  экспоненциально затухают между слоями цилиндров. Следовательно, неоднородность системы в направлении y проявляется слабо. В пределе  $M \rightarrow 0$ , что эквивалентно учету только



**Рис. 3.** Экситон-поляритонная зонная структура (а) и спектры оптического отражения света  $R_0^V(\omega)$  (b). Штриховые кривые соответствуют нерезонансному фотонному кристаллу с  $\omega_{LT} = 0$ , сплошные кривые и горизонтальные штрихи на части а — расчет при конечной массе экситона  $M = 0.5m_0$ . Расчет выполнялся при  $\omega_D = \omega_{1,0}$  и тех же значениях остальных параметров, что и для рис. 2.

одного уровня размерного квантования механического экситона в цилиндрах А [6], оптические свойства двумерного фотонного кристалла близки к оптическим свойствам резонансной квазибрэгговской структуры с квантовыми ямами [9]. Спектр отражения практически не зависит от поляризации падающей волны, поскольку для структуры, однородной в плоскости  $yz$ , при нормальном падении света  $TE$ - и  $TM$ -поляризации эквивалентны.

#### 4. Дифракционный механизм зеркального отражения света

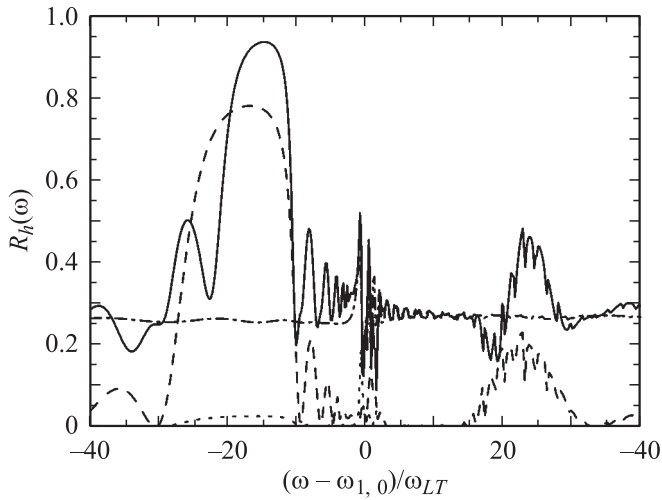
В этом разделе рассматриваются дифракция света на фотонном кристалле и влияние дифракционных эффектов на зеркальное отражение. В схеме расширенных зон ветвям дисперсионной кривой 3 и 4 на рис. 1, b соответствуют волновые векторы  $\mathbf{Q}_3^{\pm 1} = (k_x - g, \pm g)$  и  $\mathbf{Q}_4 = (k_x + g, 0)$ . Ветви описываются уравнениями  $\omega_{3,4}(k_x) = cQ_{3,4}(k_x)/\sqrt{\epsilon_M}$  и пересекаются в точке с  $\omega = \omega_D$  и  $k_x = g/4$ . Исследуется случай, когда частота экситонного резонанса  $\omega_{1,0}$  равняется частоте  $\omega_D$ . В этом случае брэгговская дифракция внутри кристалла происходит на векторы обратной решетки

$$\mathbf{b}_{\pm 1} = \mathbf{Q}_3^{\pm 1} - \mathbf{Q}_4 = (-2g, \pm g).$$

На рис. 3 представлены зонная структура и спектры оптического отражения света  $R_0^V(\omega)$ . На рис. 3, a аналогично рис. 2, a горизонтальными штрихами указаны

положения высокоэнергетических ветвей поляритонной дисперсии  $\omega(g/4)$  при  $M = 0.5m_0$ . Видно, что диэлектрический контраст и экситонный резонанс приводят к расщеплению спектра, показанного на рис. 1, b. Коэффициент отражения  $R_1^V$  максимален в середине запрещенных зон, а вдали от них стремится к значению  $R_{vb}$ . Падающая на систему волна не взаимодействует с решениями, соответствующими ветвям 3 и 3' дисперсионной кривой. Анализ показывает, что этим ветвям отвечают нечетные относительно оси  $y$  блоховские решения, которые не возбуждаются при нормальном падении света на кристалл. Отметим, что, как и при расчете рис. 2, все величины  $\gamma_h^V$  с  $h \neq 0$  являются чисто мнимыми, и наклонное распространение света в вакууме невозможно. Однако значения  $\gamma_0^B$  и  $\gamma_{\pm 1}^B$  вещественны, что означает возможность проявления дифракционных эффектов внутри кристалла.

Проанализируем дифракцию света на фотонном кристалле качественно. При нормальном падении на кристалл электромагнитной волны в область  $x > 0$  проходит волна с волновым вектором  $\mathbf{q}_0 = (\sqrt{\epsilon_M}\omega/c, 0)$ . Введем  $\mathbf{q}' = -\mathbf{q}_0$  — волновой вектор зеркально отраженной волны при  $0 < x < Nd$ . Для удобства изложения далее будем рассматривать рассеяние на частоте  $\omega = \omega_D$ , при которой  $q_0 = 5g/4$ . Разность волновых векторов падающего и отраженного света  $\mathbf{q}'_0 - \mathbf{q}_0 = (-5g/2, 0)$  не равна вектору двумерной обратной решетки; следовательно, не выполняется брэгговское условие. При этом, как следует



**Рис. 4.** Спектры отражения и дифракции света от резонансного фотонного кристалла. Сплошная, штриховая и пунктирная кривые — зависимости  $R_0^V(\omega)$ ,  $R_1^B(\omega)$  и  $R_0^B(\omega)$  соответственно. Штрихпунктирная кривая — расчет  $R_0^V(\omega)$  в пренебрежении зависимостью поля внутри структуры от координаты  $y$ . Значения параметров те же, что и при расчете рис. 3.

из рис. 2,  $b$ , в спектре отраженного света  $R_0^V(\omega)$  наблюдается дифракционный максимум. Значение коэффициента отражения в вакуум существенно превосходит значение коэффициента отражения в материал  $B$ , показанного пунктирной кривой на рис. 4. Далее предлагается объяснение этого эффекта.

На частоте  $\omega_D$  возможна брэгговская дифракция падающей на структуру волны, и волновые векторы дифрагированных волн равняются  $\mathbf{q}_{\pm 1} = \mathbf{q}_0 \pm \mathbf{b}_{\pm 1}$ . При использованных в расчете параметрах эти волны распространяются под углом примерно  $53^\circ$  к оси  $x$ . В случае  $\varepsilon_L = \varepsilon_B$ , поскольку  $\varepsilon_M$  близка к  $\varepsilon_B$ , дифрагированные волны почти не преломляются при пересечении плоскости  $x = 0$  и их волновые векторы вне кристалла равняются  $(-\gamma_1^B, \pm g)$ . Таким образом, в зависимости  $R_1^B(\omega) = R_{-1}^B(\omega)$  наблюдается дифракционный максимум, что подтверждается результатами численного расчета (штриховая кривая на рис. 4). При отражении в вакуум ( $\varepsilon_L = 1$ ) распространение дифрагированных волн вне кристалла невозможно; следовательно происходит их полное внутреннее отражение на его границе. Волновые векторы отраженных волн  $\mathbf{q}_{\pm 1}^R$  равняются  $(-\gamma_1^M + 2g, \pm g)$ . Поскольку выполняется равенство  $\mathbf{q}_{\pm 1}^R + \mathbf{b}_{\mp} = \mathbf{q}_0$ , отраженные волны дифрагируют повторно и образуются результирующая волна с волновым вектором  $\mathbf{q}'_0 = -\mathbf{q}_0$ . Эта волна распространяется в направлении, противоположном оси  $x$ , и не преломляется на границе кристалла. Следовательно, в случае  $\varepsilon_L = 1$  вместо дифракции света происходит зеркальное отражение, что подтверждается близостью положений максимумов зависимостей  $R_0^V(\omega)$  и  $R_1^B(\omega)$ .

Несмотря на то что векторы падающего и отраженного света параллельны оси  $x$ , неоднородность задачи

является существенной. Штрихпунктирная кривая на рис. 4 показывает результаты расчета спектра  $R_0^V(\omega)$  в пренебрежении зависимостью поля внутри кристалла от координаты  $y$ . Для этого в разложении поля по плоским волнам между слоями цилиндров учитывались только волны с волновыми векторами  $(\pm \gamma_0^B, 0)$ . Видно, что дифракционный максимум в спектре отсутствует.

Таким образом, дано качественное объяснение увеличению коэффициента зеркального отражения света при отражении в вакуум по сравнению с отражением в материал  $B$ . Выполнен численный расчет спектров отражения и дифракции в пределе  $M \rightarrow 0$  методом плоских волн с учетом векторов обратной решетки  $(\pm g, 0)$  и  $\mathbf{b}_{\pm 1}$ . Результаты расчета зависимостей  $R_0^V(\omega)$  и  $R_1^B(\omega)$  методом ККР описаны с удовлетворительной точностью, однако для описания зависимости  $R_1^B(\omega)$  необходимо учитывать дополнительные плоские волны. Это связано с тем, что, поскольку  $|\varepsilon_M - \varepsilon_B| \ll \varepsilon_B, \varepsilon_M$ , коэффициент отражения дифрагированных волн с  $\mathbf{b}_{\pm 1}$  на границе структуры мал и вклад в коэффициент зеркального отражения от этих волн становится сравнимым с вкладом от остальных плоских волн.

При промежуточных значениях  $\varepsilon_L$ , таких что  $\varepsilon_L < \varepsilon_B$ , но  $\text{Im} \gamma_1^L = 0$ , дифракционные максимумы присутствуют как в спектрах  $R_1(\omega)$ , так и в спектрах  $R_0(\omega)$ , т.е. наблюдаются и дифракция, и зеркальное отражение. Величина  $R_0(\omega)$  возрастает с увеличением разности  $\varepsilon_B$  и  $\varepsilon_L$ .

## 5. Заключение

В настоящей работе исследованы зонная структура и спектры отражения и дифракции света для двумерного резонансного фотонного кристалла, состоящего из цилиндров  $A$ , расположенных в узлах квадратной решетки и помещенных в матрицу  $B$ . Расчет выполнен с учетом как временной, так и пространственной дисперсии диэлектрической проницаемости  $\varepsilon_A$  и диэлектрического контраста  $\varepsilon_a \neq \varepsilon_B$ . Результаты работы [6] обобщены на случай двумерного фотонного кристалла. При  $\omega_{1,0} = \omega_R$  спектры отражения качественно близки к спектрам отражения от одномерных фотонных кристаллов — резонансных квазибрэгговских структур с квантовыми ямами.

При  $\omega_{1,0} = \omega_D$  дифракционные эффекты являются существенными. Показано, что дифракция света внутри фотонного кристалла и отражение от его внутренней границы могут приводить к значительному увеличению коэффициента зеркального отражения света. Этот механизм эффективен при большом различии диэлектрических проницаемостей  $\varepsilon_L$  и  $\varepsilon_B$ .

Автор благодарен Е.Л. Ивченко за постановку и полезное обсуждение задачи.

## Список литературы

- [1] E. Yablonovitch. Phys. Rev. Lett. **58**, 2059 (1987).
- [2] S. John. Phys. Rev. Lett. **58**, 2486 (1987).
- [3] K.C. Huang, E. Lidorikis, X. Jiang, J.D. Joannopoulos, K.A. Nelson, P. Bienstman, S. Fan. Phys. Rev. B **69**, 195 111 (2004).
- [4] L. Pilozzi, A. D'Andrea, H. Fenniche. Phys. Rev. B **64**, 235 319 (2001).
- [5] E.L. Ivchenko, Y. Fu, M. Willander. ФТТ **42**, 1707 (2000).
- [6] Е.Л. Ивченко, А.Н. Поддубный. ФТТ **48**, 540 (2006).
- [7] Kazuo Ohtaka, Tsuyoshi Ueta, Katsuki Amemiya. Phys. Rev. B **57**, 2550 (1997).
- [8] K.M. Leung, Y. Qiu. Phys. Rev. B **48**, 7767 (1993).
- [9] Е.Л. Ивченко, В.П. Кочерешко, А.В. Платонов, Д.Р. Яковлев, А. Ваг, В. Оссау, Г. Ландвер. ФТТ **39**, 2072 (1997).